



Universidade Estadual de Maringá

Nupélia - Núcleo de Pesq. em Limnologia, Ictiologia e Aquicultura

Av. Colombo, 5790 - CEP 87020-900 Maringá, Paraná/Fone: (044) 3011-4750; Fax: (044) 3011-4625

INSTITUTO DE MEIO AMBIENTE DO MS - IMASUL
PROT. Nº 71/454040 - 2019
RECEBIMOS 01/04/2019

Lindinalva Vieira Lima Coene
Chefe de Unidade de Protocolo e Arquivo
Central de Unidade de Protocolo e Arquivo
Mar. 08/2023

Ofício nº 021/19-Nupélia

Maringá, 27 de março de 2019.

Prezado Senhor:

Atendendo o exposto na autorização ambiental para captura e transporte de organismos aquáticos para fins científicos nº 001/19, processo nº 71/405723/2018, segue anexo cópia do relatório de atividade nº 06, referente ao projeto de pesquisa “A planície de inundação do alto rio Paraná”, este financiado pelo CNPq/PIE/PELD.

Atenciosamente

Universidade Estadual de Maringá
Centro de Ciências Biológicas
Núcleo de Pesquisas em Limnologia, Ictiologia e Aquicultura
Nupélia


Dr. Samuel Veríssimo
Coordenador Geral

Ao Sr.

LEONARDO TOSTES PALMA

Instituto de Meio Ambiente do MS - IMASUL

Gerente de Unidade de Conservação

Rua Desembargador Leão Neto do Carmo s/nº

Quadra 3, setor 3 – Parque dos Poderes

79.031-902 – Campo Grande - MS

Bo Carlos,

8/ providências. Verificar
se o GRPF está ficando
com os resultados

Em 02/04/19



Leonardo Tostes Palma
Gerente de Unidade de Conservação
Fiscal Ambiental/IMASUL-MS
Turismólogo - CRM /MS 2969

UNIVERSIDADE ESTADUAL DE MARINGÁ

NÚCLEO DE PESQUISAS EM LIMNOLOGIA, ICTIOLOGIA E AQUICULTURA (NUPÉLIA)

A PLANÍCIE DE INUNDAÇÃO DO ALTO RIO PARANÁ – SÍTIO PIAP

PROGRAMA PELD/CNPQ

RELATÓRIO DE ATIVIDADES N° 6

MARINGÁ - PR

Março/2019

ASSEMBLEIA DE PEIXES

1. INTRODUÇÃO

Aprimeiracoleta da quarta fase do projeto “A Planície de Inundação do Alto Rio Paraná”, sítio PIAP do PELD (Pesquisas Ecológicas de Longa Duração), foi realizada pelo Nupélia/Universidade Estadual de Maringá no período de 22 a 28 de novembro de 2018. Baseados na proposta do projeto estão sendo realizados estudos visando vários temas de interesse ecológico, entre eles a conservação da diversidade biológica e a dinâmica de populações e organização de comunidades de peixes no ecossistema. Este relatório parcial tem como objetivo informar os órgãos ambientais em atuação na região sobre as atividades desenvolvidas pelo projeto nesse período.

2. MATERIAL E MÉTODOS

A. ESTAÇÕES DE AMOSTRAGEM

As amostragens foram realizadas em 10 estações (Tabela I; Figura 1), distribuídas em três tipos de ambientes: rios (3), lagoas abertas (4), lagoas fechadas (3), que representam ambientes lóticos e lênticos (Tabela II).

Tabela I. Relação das estações de amostragem com os respectivos códigos: RIO= rios; LAB = lagoas abertas; LFE = lagoas fechadas.

Nº Estação	Locais	Códigos dos locais	Códigos por ambiente
1	Rio Baía	RBAI	RIO
2	Rio Ivinhema	RIVI	RIO
3	Rio Paraná	RPAR	RIO
4	Lagoa Guaraná	LGUA	LAB
5	Lagoa dos Patos	LPAT	LAB
6	Lagoa das Garças	LGAR	LAB
7	Lagoa do Osmar	LOSM	LFE
8	Ressaco do Pau Véio*	LPVE	LAB
9	Lagoa Fechada	LFEC	LFE
10	Lagoa Ventura	LVEN	LFE

*Ressacos são considerados como lagoas abertas

B. APARELHOS E ESFORÇO DE PESCA

A pesca experimental foi realizada utilizando-se redes de espera, arrastos e espinhéis com esforço padronizado para cada tipo de aparelho.

REDES DE ESPERA

A bateria de redes foi composta por 11 redes de malha simples. O tamanho das malhas foi de 2,4; 3; 4; 5; 6; 7; 8; 10; 12; 14 e 16 cm entre nós adjacentes. As redes permaneceram expostas, em todos os locais, por períodos de 24h, com revistas às 8h da manhã, denominado de noturno-matutino (NM), às 16h, denominado diurno (D) e às 22h, denominado vespertino-noturno (NV).

ARRASTOS

Arrastos simples, de 20 metros de comprimento, com malha de 0,5 cm, foram operados durante o dia, nas áreas litorâneas de todas as lagoas, conforme tabela I (LGUA, LPAT, LGAR, LOSM, LPVE, LFEC e LVEN).

ESPINHEL

Os espinhéis foram operados nos rios Ivinheima, Baía e Paraná, onde permaneceram expostos, por períodos de 24h, com revistas às 8h da manhã, denominado de noturno-matutino (NM), às 16h, denominado diurno (D) e às 22h, denominado vespertino-noturno (NV). Foram utilizados anzóis 4/0, 7/0 e 9/0.

3. RESULTADOS

A. Limnologia Física, Química e Condições do Tempo

Os resultados da Tabela III são referentes às condições de tempo sob as quais as capturas foram realizadas. As coletas ocorreram sob diversas condições de nebulosidade, variando de ausente a 100%, não ocorreu precipitação durante todo o período de amostragem. Em relação às condições de vento, em sua maioria foi avaliado como ausente, fraco ou moderado.

Concomitante as revistas das redes para captura do material biológico, foi realizada a coleta das variáveis limnológicas básicas (temperatura do ar e da água, transparência, pH, concentração de oxigênio dissolvido e condutividade elétrica da água – tabela - IV).

A temperatura do ar variou entre 23°C na lagoa Guaraná e no Ressaco do Pau Véio e 33°C no Rio Paraná. O menor e ao maior valor de temperatura da água foi encontrada na lagoa Guaraná com 25,3°C e 34,4°C, respectivamente. Assim, nota-se certa amplitude de variação entre esses ambientes. O menor valor de transparência (25 cm) foi registrado na lagoa Fechada, já o maior (315cm) foi registrado no rio Paraná. Ainda, houve uma variação no pH da água, de maneira que a lagoa dos Patosexibiu o menor valor (4,72) e os maiores valores foram verificados na lagoa das Garças (7,75). A lagoa Fechada apresentou os valores mais baixos de condutividade (14µS/cm), enquanto o Ressaco do Pau Véio apresentou os maiores valores (67,7µS/cm). Por fim, a concentração de oxigênio dissolvido na água oscilou entre 0,15 mg/L na lagoa dos Patose 7,78 mg/L na lagoa das Garças.

Tabela III. Condições do tempo durante o período de amostragem. Turno: turno da instalação das redes de espera ou arrasto (D=diurno) Inst.= instalação das redes, 1ºR=primeira revista, 2ºR=segunda revista e 3ºR=terceira revista; Nebulosidade: % de cobertura; Precipitação e Vento (AU=ausente; FO=forte; FR=fraco; MD=moderado). Códigos ver quadro 1.

Local	Nebulosidade				Precipitação				Vento			
	Inst.	1ºR	2ºR	3ºR	Inst.	1ºR	2ºR	3ºR	Inst.	1ºR	2ºR	3ºR
LFEC	0	10	0	0	AU	AU	AU	AU	FR	FR	FR	MD
LGAR	30	0	30	30	AU	AU	AU	AU	FR	FR	MD	FR
LGUA	0	30	0	30	AU	AU	AU	AU	FR	FR	FR	FO
LPAT	90	90	80	85	AU	AU	AU	AU	FR	MD	FR	MD
LPVE	0	0	0	0	AU	AU	AU	AU	FR	FR	FR	FR
LVEN	100	60	60	60	AU	AU	AU	AU	MD	FR	FR	MD
RBAI	0	20	0	10	AU	AU	AU	AU	FR	FR	AU	MD
RIVI	80	60	60	60	AU	AU	AU	AU	FR	FR	FR	FR
RPAR	20	0	0	20	AU	AU	AU	AU	MD	AU	FR	FR

Tabela IV. Parâmetros limnológicos básicos durante o período de amostragem. Inst.= instalação das redes, 1ªR=primeira revista, 2ªR=segunda revista e 3ªR=terceira revista; TPT (ar)=temperatura do ar, TPT (água)=temperatura da água, Transp. (cm)=transparência, pH, condutividade elétrica ($\mu\text{S}/\text{cm}$), e OD (mg/l)=oxigênio dissolvido.

Local	TPT (ar) °C			TPT (água) °C			Transp. (cm)			pH			Condutividade			OD (mg/L)								
	Inst.	1ªR	2ªR	3ªR	Inst.	1ªR	2ªR	3ªR	Inst.	1ªR	2ªR	3ªR	Inst.	1ªR	2ªR	3ªR	Inst.	1ªR	2ªR	3ªR				
LFEC	26,0	32,0	25,0	27,0	26,4	31,1	29,8	26,8	25	25	-	25	5,38	5,77	5,46	5,58	14,10	14,00	14,80	14,90	4,57	6,12	5,30	4,67
LGAR	31,0	26,0	26,0	31,0	30,2	28,5	26,6	29,9	90	-	60	55	7,44	7,20	6,47	7,75	59,30	61,30	57,60	59,60	7,39	6,87	7,39	7,78
LGUA	23,0	33,0	25,0	26,0	25,5	34,4	29,4	25,3	30	30	-	25	4,83	5,34	5,17	5,08	30,70	30,10	30,40	29,40	3,11	3,11	2,42	2,38
LPAT	26,0	26,0	25,0	31,0	26,6	26,5	25,9	27,2	45	-	45	50	4,72	5,28	5,19	5,83	33,60	37,00	36,60	39,50	0,27	0,15	1,80	0,34
LPVE	32,0	25,0	23,0	32,0	28,8	28,1	27,1	29,4	190	-	210	230	7,05	6,70	6,56	7,45	65,80	62,30	66,30	67,70	7,11	7,20	5,07	6,35
LVEN	27,5	24,0	26,5	29,5	27,8	27,6	27,3	28,2	45	-	45	40	5,91	5,93	6,34	6,43	35,30	35,40	35,00	36,10	6,67	6,66	6,68	6,15
RBAI	26,5	34,5	28,5	28,0	26,4	32,3	30,7	28,1	90	105	-	-	5,18	5,94	5,82	5,49	20,00	18,90	19,40	20,60	5,28	6,13	6,30	5,06
RIVI	26,0	25,0	26,0	29,0	26,5	26,5	26,2	26,5	80	-	75	85	6,00	5,94	5,95	6,43	42,00	41,70	41,60	41,10	4,38	5,68	5,42	6,05
RPAR	32,0	24,5	27,0	33,0	26,8	27,0	26,3	26,9	305	-	315	210	7,27	7,15	7,02	6,83	67,20	67,40	65,60	63,60	6,73	6,33	6,54	6,54

B. COMPOSIÇÃO ESPECÍFICA:

No mês de novembro de 2018 foram registradas 77 espécies pertencentes a 26 famílias e sete ordens. As espécies foram identificadas segundo Ota *et al.* (2018) e literatura especializada, quando necessário. A classificação e posição taxonômica estão de acordo com van der Laan *et al.* (2018).

ELASMOBRANCHII

MYLIOBATIFORMES

Potamotrygonidae

Potamotrygon cf. falkneri Castex, Maciel, 1963

ACTINOPTERI

CHARACIFORMES

Crenuchidae

Characidium zebra Eigenmann 1909

Erythrinidae

Erythrinus erythrinus (Bloch & Schneider 1801)

Hoplias argentinensis Rosso, González-Castro, Bogan, Cardoso,
Mabragaña, Delpiani & Díaz de Artarloa, 2018

Hoplias bigua Azpelicueta, Benítez, Aichino & Mendez, 2015

Hoplias sp. 2

Parodontidae

Apareiodon affinis (Steindachner 1879)

Cynodontidae

Rhaphiodon vulpinus Spix & Agassiz, 1829

Serrasalminidae

Metynnislippincottianus (Cope, 1870)

Serrasalmus maculatus Kner, 1858

Serrasalmus marginatus Valenciennes, 1837

Hemiodontidae

Hemiodus orthonops Eigenmann & Kennedy, 1903

Anostomidae

Leporinus friderici (Bloch, 1794)

Leporinus lacustris Amaral Campos, 1945

Megaleporinus macrocephalus (Garavello & Britski 1988)

Megaleporinus obtusidens (Valenciennes, 1837)

Megaleporinus piavussu (Britski, Birindelli & Garavello, 2012)

Schizodon borellii (Boulenger, 1900)

Schizodon nasutus Kner, 1858

Curimatidae

Cyphocharax sp.

Steindachnerina brevipinna (Eigenmann & Eigenmann, 1889)

Steindachnerina insculpta (Fernández-Yépez, 1948)

Prochilodontidae

Prochilodus lineatus (Valenciennes, 1837)

Triportheidae

Triportheusnematurus(Kner 1858)

Bryconidae

Bryconhilarii(Valenciennes 1850)

Salminus brasiliensis (Cuvier, 1816)

*Salminushilarii*Valenciennes, 1850

Acestrorhynchidae

Acestrorhynchuslacustris (Lütken 1875)

Characidae**Stethaprioninae**

Astyanaxaff.fasciatus(Cuvier, 1819)

Astyanaxlacustris (Lütken, 1875)

Hyphessobryconesques (Steindachner, 1882)

Moenkhausia bonita Benine, Castro & Sabino, 2004

*Moenkhausiaforestii*Benine, Mariguela, Oliveira, 2009

*Moenkhausiacf. gracilima*Eigenmann 1908

*Moenkhausiaaff.intermedia*Eigenmann, 1908

Incertaedis

Psellogrammuskennedyi(Eigenmann, 1903)

Characinae

Galeocharaxgulo(Cope 1870)

Roeboidesdescalvadensis Fowler, 1932

Aphyocharacinae

Aphyocharaxdentatus Eigenmann& Kennedy, 1903

Cheirodontinae

Serrapinnuscalliurus (Boulenger, 1900)

Serrapinnusnotomelas (Eigenmann, 1915)

*Serrapinnus*sp. 2

GYMNOTIFORMES

Gymnotidae

Gymnotusinaequilabiatus (Valenciennes 1839)

Rhamphichthyidae

Ramphichthyshahni (Meinken, 1937)

Hypopomidae

Brachyhypopomus gauderio Giora&Malabarba 2009

Sternopygidae

Sternopygusmacrurus(Bloch & Schneider 1801)

SILURIFORMES

Auchenipteridae

Ageneiosusinermis (Linnaeus, 1766)

Auchenipterusosteomystax (Miranda Ribeiro, 1918)

Parauchenipterusgaleatus (Linnaeus, 1766)

Doradidae

Pterodorasgranulosus(Valenciennes, 1821)
Trachydorasparaguayensis (Eigenmann& Ward, 1907)

Pimelodidae

Hemisorubimplatyrhynchos(Valenciennes, 1840)
Hypophthalmusoremaculatus Nani&Fuster, 1947
Iheringichthyslabrosus (Lütken, 1874)
Pimelodusmaculatus Lacepède, 1803
*Pimelodusmysteriosus*Azpelicueta, 1998
*Pimelodusornatus*Kner, 1858
Pinirampuspirinampu(Spix&Agassiz 1829)
Pseudoplatystomacorruscans (Spix&Agassiz, 1829)
Sorubim lima (Bloch & Schneider, 1801)
Zungarojahu(Ihering 1898)

Callichthyidae

Hoplosternumlittorale (Hancock, 1828)
Leptoplosternumpectorale (Boulenger, 1895)

Loricariidae

Loricariinae

Loricariasp.
Loricariichthysplatymetopon Isbrücker&Nijssen, 1979

Hypostominae

*Hypostomuscochliodon*Kner, 1854
Hypostomusregani (Ihering, 1905)
Pterygoplichthysambrosettii (Holmberg, 1893)

PLEURONECTIFORMES

Achiridae

Catathyridiumjenynsii(Günther 1862)

CICHLIFORMES

Cichlidae

Apistogrammacommbrae (Regan, 1906)
Astronotuscrassipinnis (Heckel, 1840)
*Crenicichlabritskii*Kullander, 1982
*Cichlakerberi*Kullander& Ferreira, 2006
Cichlasoma paranaense Kullander, 1983
Geophagusveni Lucinda, Lucena & Assis 2010
*Satanoperca*sp.

PERCIFORMES

Scianidae

Plagioscionsquamosissimus(Heckel, 1840)

CAPTURAS:

Considerando os tipos de ambientes amostrados, verificou-se que a maior riqueza específica foi encontrada nos rios (55 espécies), seguidos pelas lagoas abertas (52 espécies) e lagoas fechadas (35 espécies) (Tabela V).

Tabela V. Distribuição das espécies nas três categorias de ambientes estudados (Lab = Lagoa aberta; Lfe = Lagoa fechada).

Espécie	Lab	Lfe	Rio
<i>Acestrorhynchuslacustris</i>	X	X	X
<i>Ageneiosusinermis</i>	X		X
<i>Apareiodonaffinis</i>	X		X
<i>Aphyocharaxdentatus</i>		X	
<i>Apistogrammacommbræ</i>		X	
<i>Astronotuscrassipinnis</i>	X		X
<i>Astyanaxaff.fasciatus</i>			X
<i>Astyanaxlacustris</i>	X	X	X
<i>Auchenipterusosteomystax</i>	X		X
<i>Bryconhilarii</i>			X
<i>Catathyridiumjenynsii</i>	X		
<i>Cichlakelberi</i>	X		X
<i>Cichlasomaparanaense</i>	X		X
<i>Crenicichlabritskii</i>	X	X	X
<i>Erythrinuserythrinus</i>	X	X	X
<i>Galeocharaxgulo</i>			X
<i>Geophagusveni</i>	X	X	X
<i>Gymnotusinaequilabiatus</i>	X		
<i>Hemiodusorthonops</i>	X	X	X
<i>Hemisorubimplatyrhynchos</i>			X
<i>Hopliasargentinesis</i>		X	
<i>Hopliasmbigua</i>	X	X	X
<i>Hopliassp. 2</i>	X	X	
<i>Hoplosternumlittorale</i>	X	X	
<i>Hyphessobryconeques</i>	X	X	
<i>Hypophthalmusoremaculatus</i>	X	X	
<i>Hypostomuscochliodon</i>			X
<i>Hypostomusregani</i>			X
<i>Iheringichthyslabrosus</i>	X		X
<i>Leporinusfriderici</i>	X		X
<i>Leporinuslacustris</i>	X	X	X
<i>Leptoplosternumpectorale</i>	X		
<i>Loricariasp.</i>			X
<i>Loricariichthysplatymetopon</i>	X	X	X

Contiuna...

Tabela V.Continuação.

Espécie	Lab	Lfe	Rio
<i>Megaleporinusmacrocephalus</i>	X		X
<i>Megaleporinusobtusidens</i>	X		X
<i>Megaleporinuspiavussu</i>			X
<i>Metynnislippincottianus</i>	X		X
<i>Moenkhausiaaff. Intermedia</i>	X	X	X
<i>Moenkhausiabonita</i>	X	X	
<i>Moenkhausiacf.gracilima</i>	X		
<i>Moenkhausiaforestii</i>		X	
<i>Parauchenipterusgaleatus</i>	X	X	X
<i>Pimelodusmaculatus</i>	X	X	X
<i>Pimelodusmysteriosus</i>	X		X
<i>Pimelodusornatus</i>	X		X
<i>Pinirampuspirinampu</i>			X
<i>Plagioscionsquamosissimus</i>		X	X
<i>Potamotrygon cf.falkneri</i>	X		X
<i>Prochiloduslineatus</i>	X	X	X
<i>Psellogrammuskennedyi</i>	X	X	
<i>Pseudoplatystomacorruscans</i>			X
<i>Pterodorasgranulosus</i>	X	X	X
<i>Pterygoplichthysambrosettii</i>	X	X	X
<i>Ramphichthysahni</i>		X	X
<i>Rhaphiodonvulpinus</i>	X		X
<i>Roeboidesdescalvadensis</i>	X	X	X
<i>Salminusbrasiliensis</i>			X
<i>Salminushilarii</i>			X
<i>Satanoperasp.</i>	X	X	X
<i>Schizodonborellii</i>	X	X	X
<i>Schizodonnasutus</i>			X
<i>Serrapinnuscalliurus</i>	X	X	
<i>Serrapinnusnotomelas</i>	X	X	
<i>Serrapinnus</i> sp. 2	X		
<i>Serrasalmusmaculatus</i>	X	X	X
<i>Serrasalmusmarginatus</i>	X	X	X
<i>Sorubim lima</i>			X
<i>Steindachnerinabrevipinna</i>	X		X
<i>Steindachnerinainsculpta</i>	X		X
<i>Sternopygusmacrurus</i>		X	
<i>Trachydorasparaguayensis</i>	X		X
<i>Triportheusnematurus</i>	X		
<i>Zungarojahu</i>			X

Os dados utilizados para a elaboração dos gráficos de abundância foram os de peixes capturados em rede de espera, espinhel e arrasto. As figuras 2, 3, 4 e 5 são referentes à abundância relativa das espécies. Nessas figuras o termo “Outros” refere-se à soma das abundâncias relativas das espécies que apresentaram esse valor inferior a 1%.

A Figura 2 mostra as abundâncias relativas das espécies coletadas nos três ambientes (lagoas abertas, lagoas fechadas e rios). Do total de espécimes capturados nesses ambientes (n = 2321), 9,52% corresponderam a *S. calliurus*, seguidas por *P. galeatus*(8,35%) e *M. aff. Intermedia* (8,35%). Outras espécies com abundâncias menores que 1% totalizaram 13,35% da abundância total (Figura 2), dentre elas *C. paranaense*, *P. granulosos*, *P. ornatos*, *M. forestii*, *M. obtusidens*, *S. nasutos*.

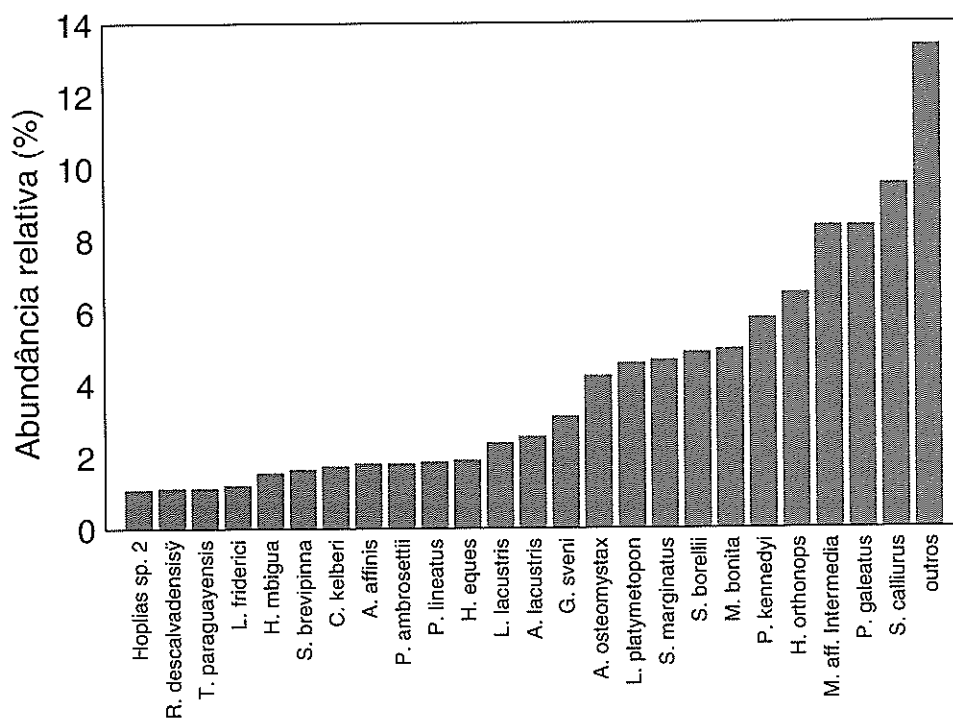


Figura 2. Abundância relativa (%) das espécies de peixes capturadas em lagoas abertas, lagoas fechadas e rios.

Nas lagoas abertas (Figura 3), *H. orthonops* foi predominante com 13,36%, seguida de *A. osteomystax*, *P. galeatus* e *M. bonita* (11,52%, 9,59% e 9,07% da abundância relativa, respectivamente) e, outras espécies, com abundância relativa menor a 1%, totalizaram 11,76%. Nas lagoas fechadas (Figura 4), *S. calliurus* foi a espécie mais abundante, com 24,55% de abundância relativa, seguida de *M. aff. Intermedia* e *P.*

kennedyi(13,63% e 10,02%, respectivamente). As 16 espécies denominadas “Outras” somadas totalizam 46 indivíduos, com 5,18% de abundância relativa.

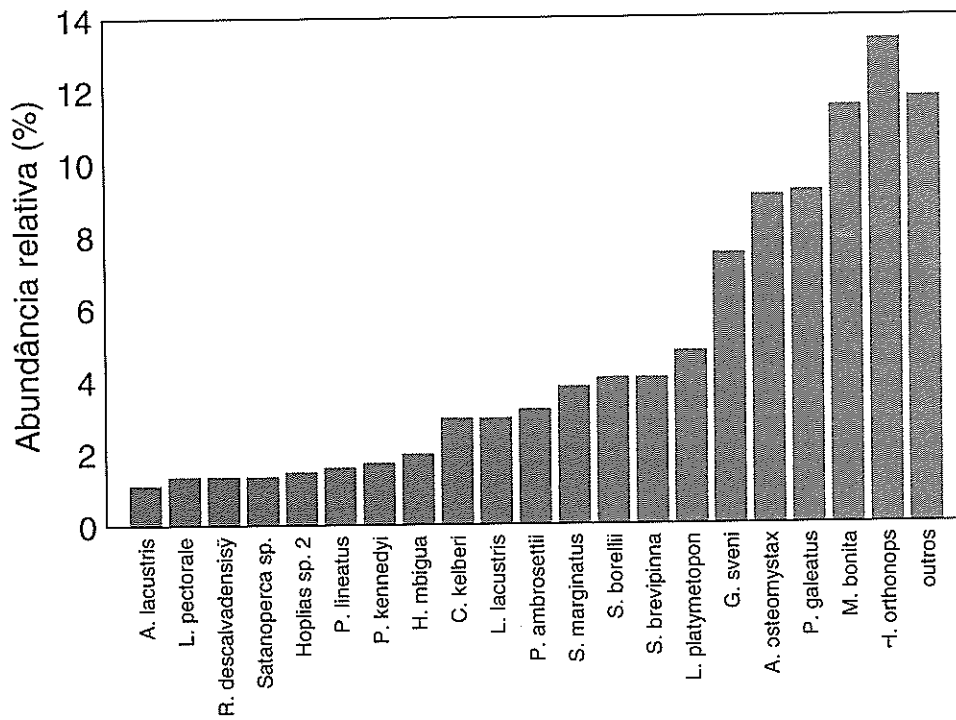


Figura 3. Abundância relativa (%) das espécies de peixe capturadas em lagoas abertas.

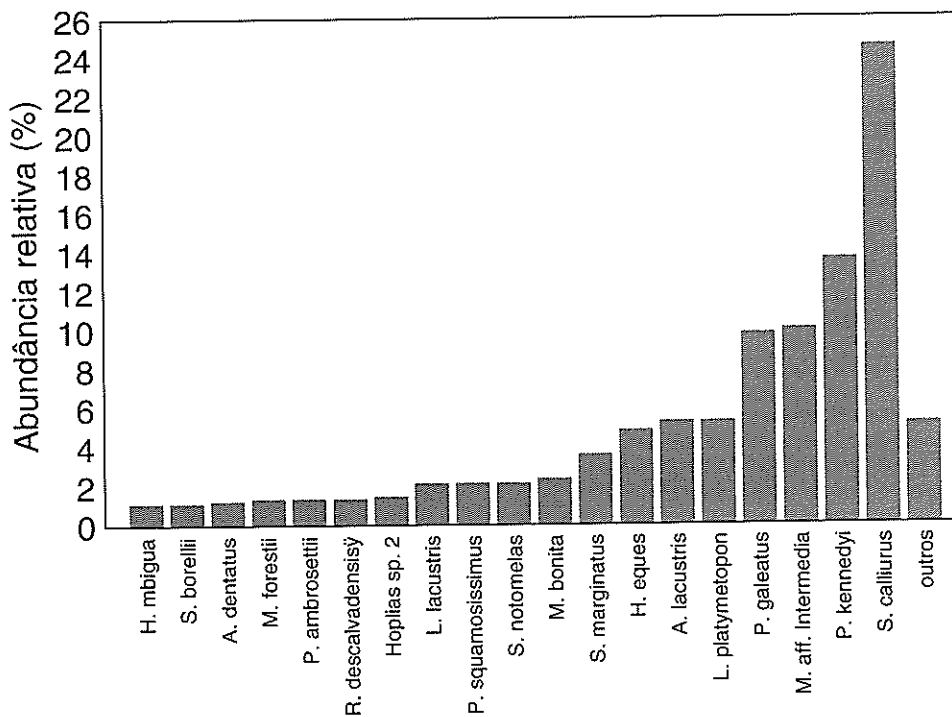


Figura 4. Abundância relativa (%) das espécies de peixes capturadas em lagoas fechadas.

Para os rios, a maior abundância relativa apresentada foi para *M. aff. Intermedia* (16,69%), seguido por *S. marginatus* (11,35%) e *S. borellii* (7,29% respectivamente). As espécies denominadas “outras” apresentaram abundância relativa de 12,96% (Figura 5).

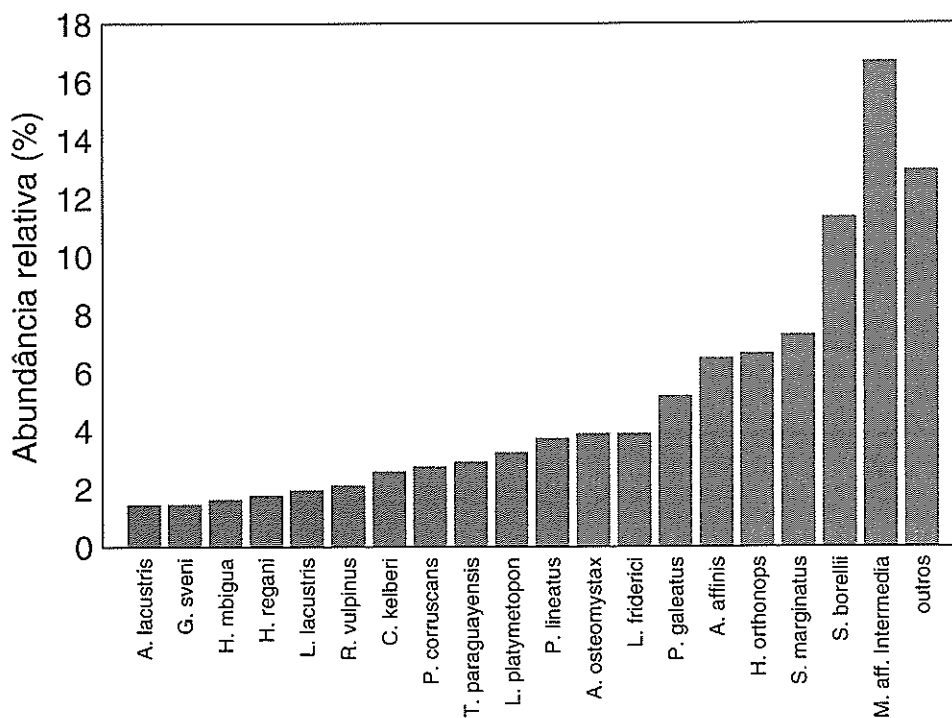


Figura 5. Abundância relativa (%) das espécies de peixe capturadas em rios.

A estrutura das comunidades de peixes do alto Rio Paraná foi descrita com base nos índices de diversidade apresentados na Figura 6. A maior riqueza de espécies foi observada nos pontos amostrados nos rios ($S = 55$ espécies), com baixa diferença para as lagoas abertas ($S = 52$ espécies). Enquanto que, nas lagoas fechadas, houve menor riqueza de espécies em comparação com os demais ($S = 32$ espécies).

A diversidade de Shannon também foi maior nos rios ($H' = 3,15$), com valores inferiores para as lagoas abertas ($H' = 3,13$) e lagoas fechadas ($H' = 2,66$). Em relação à equitabilidade, os valores foram maiores para as lagoas abertas ($J' = 0,79$), seguidos pelos rios ($J' = 0,78$) e lagoas fechadas ($J' = 0,74$).

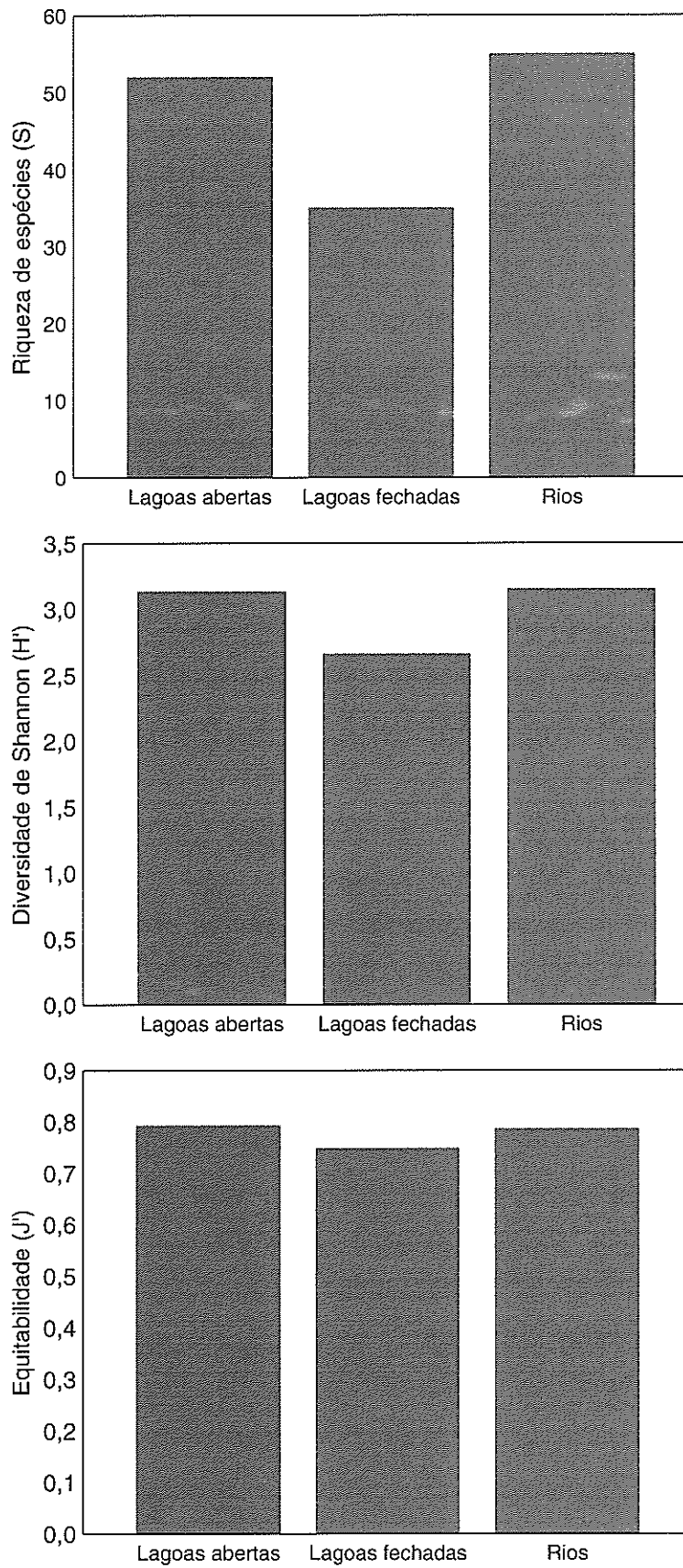


Figura 6. Índices de diversidade: Riqueza de Espécies (S), Índice de Diversidade de Shannon (H') e Equitabilidade (J').

Equipe de coleta (campo):	
João Dirço Latini	Sebastião Rodrigues
Augusto Frota	Francisco Alves Teixeira
Alfredo Soares da Silva	Valdir Aparecido Capatti
Iago de Souza Penido	Gustavo Faccin Andreotti
Matheus Tenório Baumgartner	Jonas Campaner Alves
Rafael Rogério Rosa	

Equipe de coleta (laboratório):	
Atsler Luana Lehun	Regina Cíntia Carnelós M. Velho
Danilo Nunes Nicola	Rianne Caroline de Oliveira
Renzy Jose Medrano Camargo	João Vitor Fonseca da Silva
Rosimeire Ribeiro	Amanda Borges Santos
Ivani Lopes Alencar	Marli Cristina Campos
*Íngrid Ribeiro Antonio	*Juliana Serrano Dias Polli

*auxílio na coleta de dados no laboratório-sede (Maringá)

Equipe responsável pelo relatório:	
Rianne Caroline de Oliveira	Danilo Nunes Nicola
Atsler Luana Lehun	João Vitor Fonseca da Silva
Amanda Borges Santos	